

# 十字交叉鋼筋点焊工艺过程

Б. М. 戈克拉索夫

Л. В. 格列波夫

建筑工程出版社

**原本說明**

**書名** Технология точечной сварки пересекающихся стержней арматурной стали

**著者** В. М. Некрасов, Л. В. Глебов

**出版者** Ленинградский дом научно-технической пропаганды

**出版地点及日期** Ленинград—1955

**十字交叉鋼筋点焊工艺过程**

秋 楠 譯 楊智達 校

圖 譯：張以寧 設 計：丁顯達

1959年1月第1版 1959年1月第1次印刷 3,060册

787×1092 • 1/12 • 12千字 • 印張9/16 • 定价 (10) 0.10元

建筑工程出版社印刷厂印刷 • 新华书店发行 • 書号：1407

建筑工程出版社出版（北京市西郊百万庄）

（北京市書刊出版业营业許可證出字第052号）

苏联共产党中央委员会和苏联部长会议于1954年8月19日所作的“关于发展建筑工程中装配式钢筋混凝土结构和构件生产”的决议和1954年在莫斯科建筑工作者会议上与会人员所提出的对民用、工业和水工建筑中广泛采用钢筋混凝土的意见，都说明了需要根本地改变目前建筑工程中的施工方法。

在结构体内用绑扎铁丝把数以万计的单根钢筋連結在一起，以构成钢筋混凝土的骨架的陈旧装配方法，对现代的建筑速度和规模来说是不相称的，并且已为新的先进的工艺所代替。

新施工方法的实质就是采用电焊来代替绑扎以及用事前制造妥善并运至工地的平面与立体的钢筋结构在现场进行安装。

目前，大型砌块的建筑方法已获得了广泛的应用，这种方法是用预制好的钢筋混凝土块体（梁、板等等）来进行安装。

按规划，在1955—1956年间有402个装配式钢筋混凝土制品工厂和200个露天预制场投入生产，这一计划说明：在我国国家里，建筑工业将成为工业化的基地。

要想使钢筋工程达到高度工业化，只有采用接触点焊，这种焊接法能显著地提高生产率及制造钢筋结构的经济效益。

和绑扎细钢筋相比较，在制造钢筋结构时，采用点焊可以减轻劳动及提高生产率2—2.5倍；和弧焊比较，在制造重型钢筋网及骨架时，点焊使劳动量平均降低达50—60%，并使钢筋结构的成本降低20—25%。此外，点焊时，以每一吨结构计可以节约焊条28—50公斤，并可保证节省基本材料15%，因为不再需要耗費

材料于搭接、弯钩、垫板及其它的连接处。

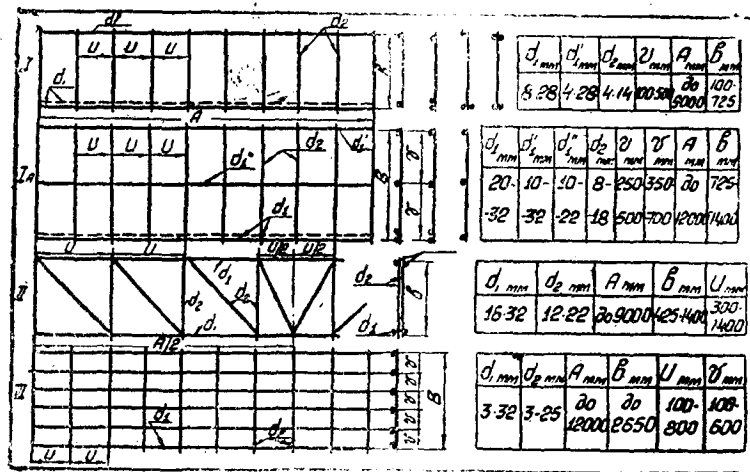


图 1 焊接钢筋制品的主要构件

I, Ia—无斜杆的非承重骨架; II—承重骨架; III—焊接圆

为了有效地使用点焊，必须简化钢筋骨架的结构并且把这些结构的半制品作成简单的平面钢筋结构(图1)，以便于在 МТПГ-75, МТП-75, МТП-150等各种型号的成批生产点焊机上制造，而在大量生产时，则使用焊接钢筋结构用的特种多电极点焊机。

## 十字交叉钢筋连接处点焊的特性

用两根或多根的交叉钢筋连接成的几何图形是交叉连接点焊的特点，这种几何图形十分适宜于焊接。

实际上，人们把接触焊接称为“点焊”，并不是没有原因的，

在开始焊接的时候，相互交叉的鋼筋就是在一点上接触的。

薄鋼板的点焊过程和交叉鋼筋的焊接过程相比較證明了，当电极压力及焊接电流值几乎固定不变时，焊接鋼筋的接触面积不断地增加，而电流密度及單位压力則減小。

在焊接过程开始时，由于电流密度过大，我們觀察到鋼筋連接处的金屬的过份发熱及强烈熔化；随着压陷，电流密度減小，发热量亦減小，鋼筋連接处金屬熔化的过程过渡到高热状态（到塑性状态）。

鋼筋交叉連接时，焊点周圍的金屬自焊点所导出的热量，远較焊接薄鋼板为小，因为在薄鋼板的焊接中，鋼板板体剧烈地将热量自焊点导出。特別是焊接鋼筋时，压力几乎全部被利用，因为沒有其它东西阻止焊接构件的压陷，在焊接开始时，圓鋼筋連接处不很大的接触点上集中的压力可以达到每平方公厘几百公斤；而当焊接結束时，單位压力分別減少到：低碳鋼——2—5公斤／平方公厘，5号鋼筋——5—10公斤／平方公厘。

如能正确地选择交叉鋼筋的焊接規范，則焊接点的金相組織沒有气孔、气泡、夹渣及类似的缺陷；在焊接初期，鋼筋之間接触金屬的强烈熔化，可以使生成的夹杂物在其周圍自由挤出。点焊薄鋼板时，由于焊点整个为不熔化的基本金屬所包围，在这种情况下是不会把夹杂物挤出的。

这样，由于点焊鋼筋能充分地利用电极压力，电流密度大及热量不易发散，因此在采用同样一种设备时，焊接交叉鋼筋的厚度可比点焊薄鋼板时提高5—7倍。

有人認為：用点焊焊接十字交叉連接时，横向鋼筋会削弱縱向鋼筋的工作能力。

这种情况，正如實驗中所証明的那样，是不正确的，因为用优質点焊焊接十字形連接的鋼筋时，削弱了的藏面会由横向鋼筋的

金屬來填補，這部分金屬足能擔負削弱之截面所應受的一部分荷重。

其次，甚至可以推想到，就鋼筋受縱向荷載的關係而言，鋼筋連接的地方對工作造成更為有利的條件：主要鋼筋之壓陷截面部分在焊接時被压实了，而參與傳遞縱向荷載的橫向鋼筋截面部分顯然比縱向鋼筋的“未經壓陷”部分的尺寸大得多，沿着鋼筋連接線的截面處是危險的截面，但由於連接處有析出金屬（所謂“焊瘤”），所以這個截面的面積亦較大。

對壓陷程度不同的，焊有橫向鋼筋的縱向鋼筋所作之拉力試驗証實了上述論點的正確性。

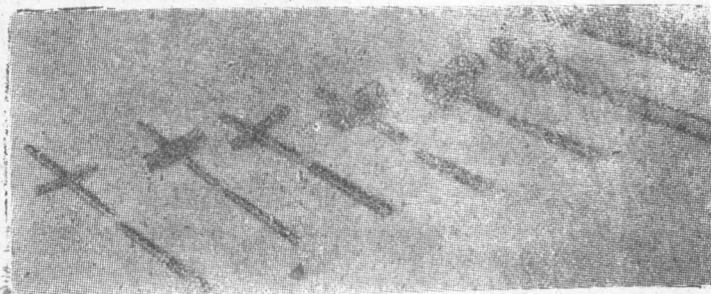


圖 2 不同直徑的“十字形”鋼筋焊接試件，縱向鋼筋  
經拉力試驗後的情形

全部試件均斷裂在離開焊接橫向鋼筋很遠的基本材料上（圖 2）。

### 十字形接觸點焊的工藝過程

鋼筋混凝土的鋼筋由下列各種鋼號及截面制成：Cr.0, Cr.3 及 Cr.5，圓鋼及規律變形鋼，熱軋及冷拉鋼，以及由BC及OBC

标号制成的鋼絲。

在某种情况下，为了改善鋼筋的机械性能，采用原材料的冷拔，冷压及冷拉，上述每一种鋼号以及由它所制成的各种断面型式都有它的特性，并且和化学成份或机械加工有关。所采用材料的性質列于表 1。

焊接十字交叉鋼筋时，原材料的性能應該尽可能地保持不变。因此要格外詳細地考慮其性能，并确定在焊接中可能破坏性能的原因。Ct.0及Ct.3圓截面的低碳鋼在焊接中很少产生淬火及形成裂縫，在这种情况下，即使在較大的电流、時間及压力变化范围内，都可以获得坚固的焊接点。焊接規范是以現有的設備和技术經濟指标来选择的，从生产率的观点出发用强規范焊接最为合适。

表 1

鋼类名稱	鋼号	强度极限	延伸率 不小于%	屈服极限 公斤/平方公厘
		公斤/平方公厘		
热軋圓鋼筋	Ct.0	32—47	18—22	25
	Ct.3	38—47	21—27	28.5
	Ct.5	52—62	15—21	30
热軋規律变形鋼筋	Ct.5	50	—	35
未經熱處理之冷拔鋼絲：	Ct.3			
直徑 3—6 公厘		55	—	45
直徑 7—10公厘	Ct.0	45	—	35
冷壓規律变形鋼筋	Ct.3	46—56	3.5—6.5	35
冷拉鋼筋：				
直徑12公厘以內者	Ct.3	42	—	35
直徑12公厘以上者	Ct.3	42	—	30
其他各种直徑	Ct.0	37	—	30

中碳鋼Ct.5由于含碳百分率較大，易于淬火。在焊接处会形成裂縫及破裂，因此必須用大电流及較高的压力进行焊接。只

有采用这种方法才能获得Cr.5鋼筋焊接接头的必要强度。

冷拔鋼絲，冷壓鋼筋和冷拉鋼筋由于事先經過處理而具有較高的機械強度。當加熱到高溫時會發生再結晶的現象——材料恢復為原來的組織，機械性能也會隨之發生變化。

因為再結晶的溫度和通電的時間，變形程度，化學成分有關，並且有一個界限，在這個界限里這個過程是進行着的，所以，選擇焊接規範時必須力求採用強規範。從對上述各種材料的性能所作之簡單分析看來，可以看出，要選擇一個適用於所有鋼號及截面的規範，實際上是不可能的。

但是，在制訂焊接規範時，被選擇的任何規範亦有其遵循的共同條件，即應保證：

- 1)連接點的最大強度；
- 2)最短的焊接時間；
- 3)最小的電流和線路中所需要的功率；
- 4)焊接點適當的外形（電極作用下的凹陷及总的壓陷）；
- 5)在規範的變動不大時，獲得穩定的焊點機械強度。

全蘇電焊設備科學研究所（ВНИИЭСО）及“電工”工廠的實驗室曾根據上述簡略的要求進行了選擇鋼筋點焊規範的研究工作。

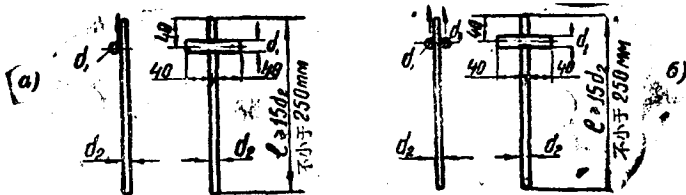


圖 3 用機械作剪力實驗用的十字形焊接的試樣

a—單剪連接的試樣（用兩根鋼筋作成）；b—雙剪連接的試樣（三根鋼筋作成）

对得出的資料进行研究及整理，就可作出一个供选择各种直徑鋼筋最适合的焊接規范用的图表。

在开始叙述焊接規范的选择以前，为了給正确选择适当規范創造必要的条件，首先必須說明研究的方法。

## I 机械强度的实验

正如理論計算和所进行之机械强度試驗指出的那样，对于直徑在20公厘以內之鋼筋來說，以專用夹具对試件作“抗剪”試驗所得出的結果是比較稳定的（图3和3a）。

在这种情况下，焊接接头的工作与实际情况非常近似。夹具便于在任何类型的拉力試驗机上使用。試驗直徑大于20公厘的鋼筋时，利用图4和4a中之夹具进行試件分离試驗最为合理。因为对直徑超过20公厘的鋼筋作剪力試驗时，由于在夹具（图3a）中所施加之荷重而产生的偏心距会有很大的影响。

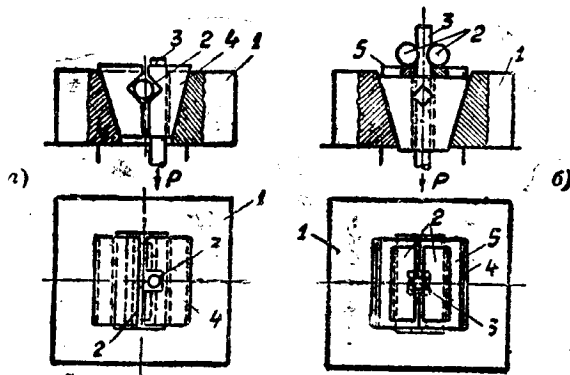


图 3a 十字形焊接接头剪力試驗設備簡圖

a—單剪連接；b—双剪連接

1一分裂机的套圈；2—受試試件的横向鋼筋；3—受試試件的縱向  
鋼筋；4—带有特殊軸套的楔型軋头；5—带錐紋的垫板；P—拉力

## II 电 流 强 度

选择规范时，电流的强度是从变压器的一次线圈量测的，而二次电路中的电流量依下列公式计算：

$$I_2 = C \cdot [I_1 - I_0], \quad (1)$$

式中：  
 $I_2$ ——二次电路中的电流；

$I_1$ ——一次电路中的电流；

$I_0$ ——与变压器级次相适应的空载电流；

$C$ ——变压系数。

所求得之最合用之焊接电流值，可在其低侧用示波器进行检查，并以相同办法进行调整。

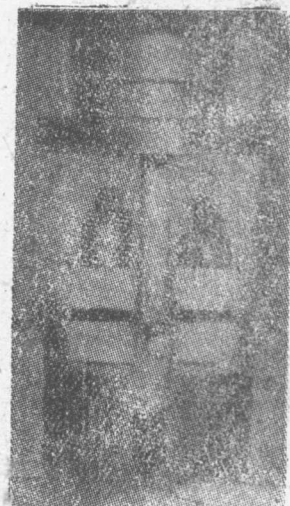


图4 十字形焊接点“分离”  
試驗用的夾具；安装于 20

吨的压力机上

## III 焊 接 时 間

焊接的时间用限时继电器测量，这种限时继电器频率为50周波，读数精确到0.01秒。

## IV 电 极 間 的 壓 力

电极间的压力在焊接前是借液体压力计来量测的。并且保持不变，在焊接的过程中根据气压表的指示来测量。

## 規 范 的 选 擇

### I 电极直徑与形状的选择

从万能性、可靠性和制造簡便的觀点出发，电极采用了扁平的形状。电极的直徑是根据焊接的位于电极下之鋼筋的最小允許过热、連接点的外形和电极的机械强度等来确定的。



图 4a 直徑20—100公厘之粗鋼筋十字形焊接  
接头分离試驗用的夹具

如用下面所載述的电极直徑时可获得更好的效果，并且对較大直徑的鋼筋取較小的值：

当鋼筋直徑  $d$  为 3—10公厘时，  $d$  电极 = ( 2.5—5 )  $d$  鋼筋

当鋼筋直徑  $d$  为 10—32公厘时，  $d$  电极 = ( 1.5—3 )  $d$  鋼筋

当鋼筋直徑  $d$  为 32公厘时，  $d$  电极 = ( 1.25—2 )  $d$  鋼筋

### II 焊接連接点的外形

从图 5 中可以看出，一根鋼筋压入另一根鋼筋中越多，焊接点的面积就越大。为了有可能評定焊接点面积的大小，引用相对

压陷的概念，其关系式为：

$$\frac{\Delta}{d} \times 100\%,$$

式中： $\Delta$ ——绝对压陷，（公厘）；

$d$ ——交叉点较小钢筋的直径（公厘）。

根据试样的机械强度试验可以确认，相对压陷深度最好在15—30%的范围内，这个关系也是作为选择焊接规范最好的方法，挤压量 $\delta$ 应不大于较小钢筋直径的20%。

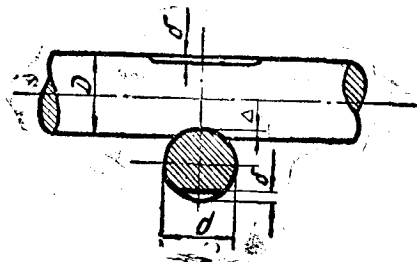


图 5 十字形交叉钢筋焊接连接图

$D$ —较大钢筋的直径； $d$ —较小钢筋的直径； $\delta$ —电极挤压深度； $\Delta$ —压陷值

### III 电流、焊接时间与压力的选择

电流、焊接时间与压力的选择是按每一种钢号及截面分别进行的。选择按照下列方法进行：固定两个参数为常数，改变第三个参数，到求得受验试样强度的最大值为止。对所选择之最好的规范应进行连接点机械强度的稳定性验对。最好的规范的选择结果列于表2与表3中。

应该指出，焊接规范参数的偏差在±15%时，连接处机械强度的变化并不大。

表2与表3中所列的最适宜的规范包括了相当大的焊接截面

范圍，但是，有很多的組合沒有做过試驗，而其最好的焊接規范未曾选出。因此，适当地綜合这些研究的結果，根据选择出的最适宜的規范，也就可以选择出其它可以焊接的規范。这也可以从电流、時間及压力最适合的規范值 的曲綫图表 中求得，在該表中，电流与时间为  $\frac{d + D}{d \cdot D}$  的自变数，压力为  $d^2 \cdot D$  的自变数 ( $d$  ——交叉鋼筋中較小鋼筋的直徑(公厘);  $D$  ——較大鋼筋的直徑(公厘))，該自变数表明了焊接电阻与焊接点面积的相互关系。曾試圖采用另一些橫座标 (較小鋼筋的直徑，焊接鋼筋直徑的总和或焊接鋼筋面积的总和)来选择焊接規范，但沒有得到良好的結果，同时也不可能繪制出一种适用于任何直徑鋼筋組合的焊接規范曲綫；上述关系确定了焊接規范只适用于某一情况，并且也只是在某种具体的直徑組合下才是正确的。

所繪制的图表載于图 6、7、8 和 9 中，对根据这些图表选择的，在表 2 及表 3 中所未曾列出的某些交叉鋼筋的最好規范进行了試驗，其結果列于表 4。

在研究焊接鋼筋網自动焊机时，表明按图10采用一侧电流引綫最为方便。在这种情况下，按两侧电流引綫所选择的焊接規范，在电流和時間方面，由于电流受鋼筋  $D$  分路而不适用于一侧电流引綫。为了利用曲綫表 (图 6 和 8 ) 和利用电流之一側引綫，以焊接鋼筋之比值关系为条件的自变数值應該不按  $\frac{d + D}{d \cdot D}$  来确定，

而按  $\frac{d + D \cdot (1 + \frac{D}{d})}{d \cdot D \cdot (1 + \frac{D}{d})}$  的比例来确定。

式中：  $d$  ——通过电流的鋼筋直徑；  
 $D$  ——造成分路电流鋼筋的直徑；

表 2

順序号	銅号和鐵面	交叉鋼筋的直徑 (公厘)	電流引線 (安培)	適宜的規范			破壞荷重 (公斤)	破裂地點 (電極壓力 (公斤))	相對壓陷值	備注
				焊接电流 (安培)	焊接時間 (秒)	電極壓力 (公斤)				
1	C <sub>1</sub> 0和C <sub>7</sub> 3 冷打螺栓筋	3 + 3 5 + 5 6 + 6	兩側的 兩側的 兩側的	4300 6200 7200	0.06 0.1 0.12	160 220 260	460 1180 1480	基本材料 基本材料 基本材料	50 30 40	剪力強度試驗
2	Cr <sub>1</sub> 0和Cr <sub>7</sub> 3 熱軋鋼鐵面 鋼筋	6 + 6 10 + 10 12 + 12 18 + 18 25 + 25 30 + 30 28 + 60 30 + 60 60 + 60 60 + 75 60 + 85	兩側的 兩側的 兩側的 兩側的 兩側的 兩側的 兩側的 兩側的 兩側的 兩側的 兩側的	6500 12440 13500 19000 22500 29000 31500 31600 36500 38000 42000	0.1 0.3 0.35 1.8 2.2 2.5 5.0 6.25 22.0 26.0 42.0	200 430 450 1000 1750 2400 2700 2800 4400 4150 5400	1200 3750 4600 19650 — 30000 25000 35000 100000 96000 107000	基本材料 基本材料 基本材料 基本材料 — 基本材料 焊接區域 焊接區域 焊接區域 焊接區域 焊接區域	35 35 30 22 28 12 14 11 15 9 11	剪力強度試驗 剪力強度試驗 剪力強度試驗 剪力強度試驗 剪力強度試驗 剪力強度試驗 剪接區域 剪接區域 剪接區域 剪接區域 剪接區域 剪接區域

注：低碳鋼的細鋼筋和中等鋼筋的焊接規范是由工程師И·М·拉法史柯維奇亲自参加下，在“电工”工厂之接觸焊接实验室中選擇的。

*e* —— 鋼筋之間的距離。

以这种方法選擇的規范曾在焊接两种直徑(6+6与16+16公厘)之3号圓鋼筋(間距200公厘)时作过校驗。

其結果載于表 5 中。

表 3

順序 號	鋼號和 截面	交 叉 鋼筋的 直 徑 (公厘)	電流 引線	規 范			破 壞 荷 荷 重 力 (公斤)	破 裂 地 点	相 对 壓 陷 值 (%)	備 注
				焊 接 電 流 (安培)	接 電 流 時 間 (秒)	電 壓 (公 斤)				
1	Cr.5 热 軋圓鋼筋	10+18	兩側的	20,000	0.55	1,000	4,300	焊接区域 的基本材料处	47	分离强度 試驗
		12+22	兩側的	21,000	0.75	1,250	4,400		33	
		14+28	兩側的	21,500	1.3	1,500	7,200		34	
		16+28	兩側的	22,000	1.75	1,700	10,950		26	
		18+32	兩側的	23,000	2.2	2,000	10,850		23.8	
		20+32	兩側的	24,000	2.5	2,100	13,450		22.5	
		32+32	兩側的	30,000	4.5	2,700	45,500		16.5	
2	Cr.5 号 热軋規律 變形鋼筋	12+12	兩側的	18,500	1.0	1,000	4,300	焊接区域 的基本材料处	20	
		18+18	兩側的	22,500	1.4	1,500	8,900		23.8	
		16+24	兩側的	23,500	1.5	1,500	6,600		29.6	

注: Cr.5 鋼筋的焊接規范是在全蘇電焊設備科學研究所的實驗室中由工程師  
И. А. 依方諾夫和Э. М. 米哈依洛娃姪直接參加下選定的。

表 4

鋼號和 截面	交 叉 鋼筋的 直 徑 (公厘)	按曲綫表的最适 宜的 規 定			达到最大之机械 強度的 規 定			破 壹 荷 重 (公 帶)	備 注
		焊 接 電 流 (安 培)	接 電 流 時 間 (秒)	電 壓 (公 斤)	焊 接 電 流 (安 培)	接 電 流 時 間 (秒)	電 壓 (公 斤)		
Cr.5 圓 鋼筋	10+10	16,800	0.5	700	16,700	0.5	650	3,300	分离試驗
	12+12	18,300	0.65	1,100	18,000	0.65	1,100	6,450	
	14+14	19,800	0.75	1,400	20,000	0.75	1,400	9,100	
	18+18	20,500	1.4	1,800	21,000	1.4	1,800	10,800	
	22+22	22,500	2.2	2,000	22,500	2.25	2,000	12,650	

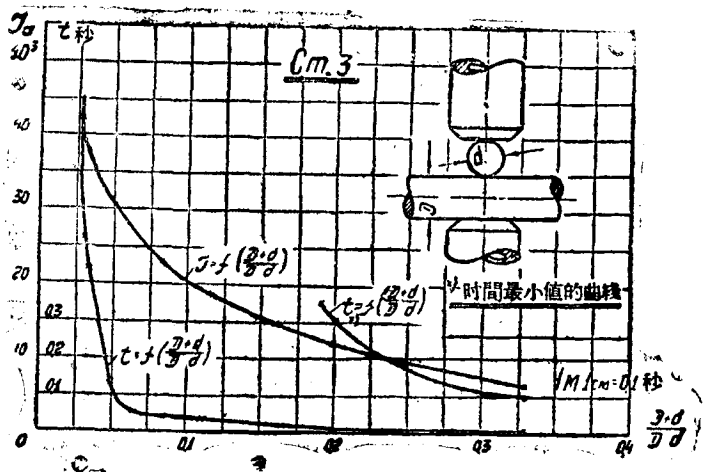


图 6 Cr.3 各种直径的交叉钢筋点焊时，选择焊接电流( $I$ )及焊接时间( $t$ )的曲线图表

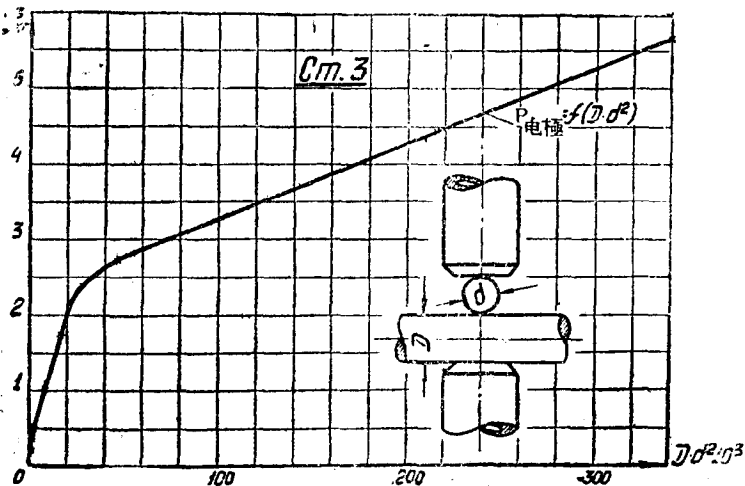


图 7 Cr.3 各种直径的交叉钢筋焊接时，选择电极压力( $P$ )的曲线图表

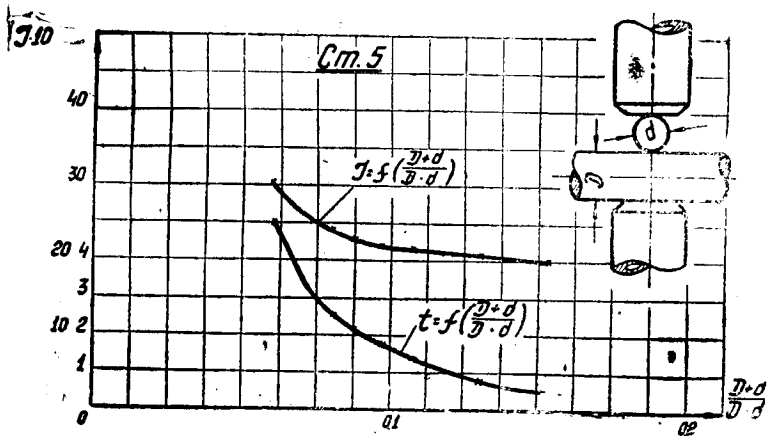


图 8 Cr.5 各种直径的交叉钢筋点焊时，选择焊接电流  
(I) 及焊接时间 (t) 的曲线图表

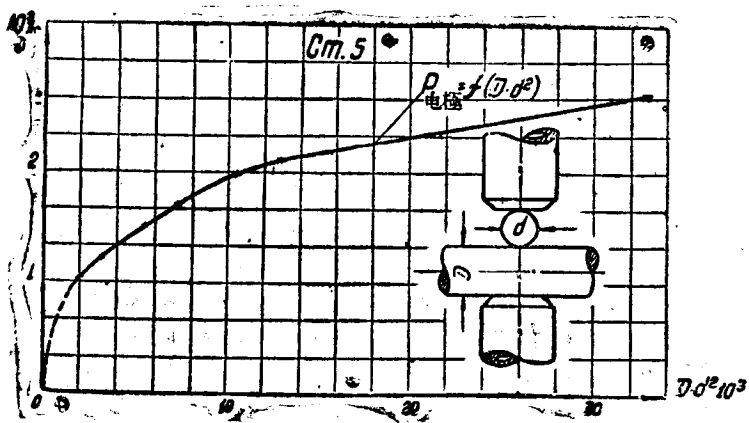


图 9 Cr.5 各种直径的交叉钢筋点焊时，选择电极压力  
(P) 的曲线图表